

ОБЪЕДИНЕННЫЙ  
ИНСТИТУТ  
ЯДЕРНЫХ  
ИССЛЕДОВАНИЙ

Дубна

P6-2000-118

В.Г.Чумин, К.Я.Громов, Ш.Р.Маликов, Ю.В.Норсеев,  
Ж.К.Саматов, В.И.Фоминых, А.П.Череватенко,  
Л.В.Юркова

АЛЬФА-РАСПАД  $^{211}\text{Po}$  НА УРОВЕНЬ 1633 кэВ  $^{207}\text{Pb}$

Направлено в журнал «Известия РАН, серия физическая»

2000

При исследовании  $\alpha$ -спектра при распаде  $^{211}\text{Po}$  ( $T_{1/2}=0,516$  с) [1] наблюдалась  $\alpha$ -частицы с энергиями 7450 (98.86%), 6893 (0.56%) и 6570 (0.58%) кэВ, соответствующие распаду на основное состояние  $^{207}\text{Pb}$ , и возбужденные уровни 569,7 и 897,8 кэВ. Альфа-распад на более высокие уровни не обнаружен. В ядерных реакциях и при электронном захвате в  $^{207}\text{Bi}$  возбуждается уровень  $^{207}\text{Pb}$  с энергией 1633 кэВ. В настоящей работе обнаружен  $\alpha$ -распад из основного состояния  $^{211}\text{Po}$  на уровень 1633 кэВ  $^{207}\text{Pb}$ .

Для поисков распада  $^{211}\text{Po}$  на уровень 1633 кэВ  $^{207}\text{Pb}$  мы использовали источник  $^{211}\text{At}$  ( $T_{1/2}=7,21$  ч). Схема распада  $^{211}\text{At}$  и дочерних изотопов  $^{211}\text{Po}$  и  $^{207}\text{Bi}$  [2,3] изображена на рис. 1. Уровень 1633 кэВ

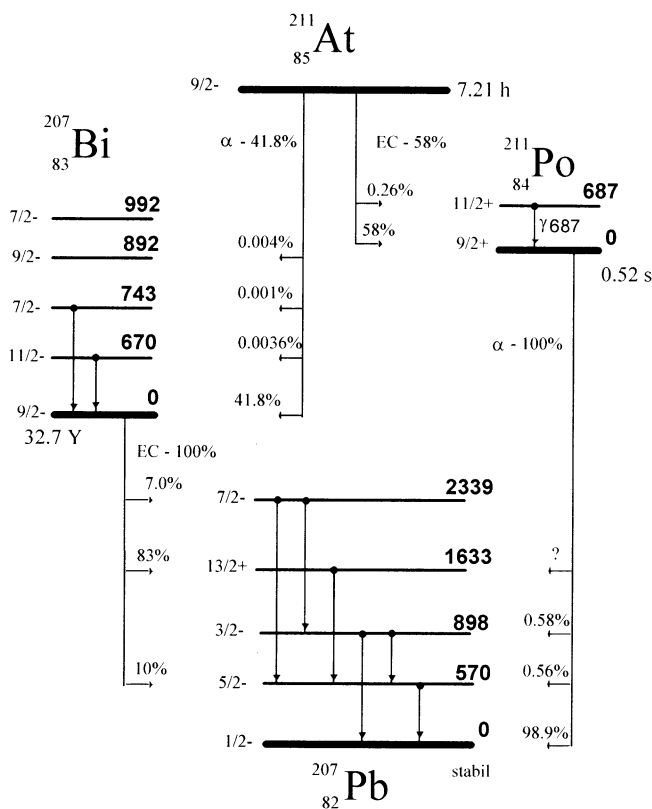


Рис. 1. Схема распада  $^{211}\text{At}$ ,  $^{211}\text{Po}$  и  $^{207}\text{Bi}$

в  $^{207}\text{Pb}$  заселяется при электронном захвате в  $^{207}\text{Bi}$  ( $T_{1/2}=32,7$  г) и разряжается  $\gamma$ -переходом с энергией 1064 кэВ. Если  $\alpha$ -распада  $^{211}\text{Po}$  на уровень 1633 кэВ нет, то интенсивность  $\gamma$ -лучей 1064 кэВ должна нарастать с периодом полураспада  $^{211}\text{At} = 7,21$  ч. Если же  $\alpha$ -распад на уровень 1633 кэВ происходит, то в зависимости интенсивности  $\gamma$ -лучей 1064 кэВ от времени должен обнаружиться компонент, убывающий с  $T_{1/2}=7,21$  ч. Для решения поставленной задачи необходимо было в радиохимических операциях фиксировать момент отделения  $^{211}\text{At}$  от дочернего  $^{207}\text{Bi}$  (момент начала накопления  $^{207}\text{Bi}$  в источнике) и исследовать эту зависимость.

$^{211}\text{At}$  получали на ускорителе У-200 Лаборатории ядерных реакций ОИЯИ по реакции  $^{209}\text{Bi} (\alpha, 2n) ^{211}\text{At}$ . Продный металлический висмут (моноизотоп  $^{209}\text{Bi}$ ) наносили на подложку из алюминия, которая во время облучения охлаждалась проточной водой. Толщина мишени не превышала 30 мг/см<sup>2</sup>. Облучение проводили альфа-частицами с энергией не выше 28 МэВ. При выбранных наим условиях примесь  $^{210}\text{At}$ , который может образоваться по реакции  $^{209}\text{Bi} (\alpha, 3n) ^{210}\text{At}$ , составляла по числу атомов менее 0,05%. После облучения металлический висмут снимали с подложки и переносили в лодочку из медной фольги. Лодочку помещали в горячую зону установки для выделения, очистки и получения астатодержащих растворов различного заданного состава (см. [4]). Чтобы предотвратить (хотя и маловероятное) попадание в препарат накапливающегося во время его выделения и очистки дочернего  $^{207}\text{Bi}$ , в трубку для отгонки астата из висмутовой мишени в горячую зону (450–500°C) помещали фольгу из металлической платины. Такую же новую фольгу из платины помещали в ампулу для перегонки астата с серебряной фольги в бидистиллят. Платину размещали ниже серебряной фольги.

После получения препарата  $^{211}\text{At}$  – раствора в бидистилляте – аликовую часть раствора переносили на серебряную фольгу, затем туда же добавляли одну пятую по объему часть смеси  $\text{NH}_2\text{OH HCl}$  (100 мг/мл) + 0,5 М HCl (2:1) [5]. Полученный таким образом раствор прямо на фольге подогревали под инфракрасной лампой в течение 2–3 минут (до температуры около 70°C). При этом астат полностью (на 100%) сорбировался на серебряной фольге. Остатки раствора удаляли, а место сорбции три раза промывали бидистиллятом. Момент отделения  $^{211}\text{At}$  от дочернего  $^{207}\text{Bi}$  – момент начала накопления  $^{207}\text{Bi}$  в использованных источниках определялся при этом с точностью 10 минут.

Для дополнительной проверки возможного перехода  $^{207}\text{Bi}$  при перегонке астата с серебряной фольги в бидистиллят провели следующую операцию. После полного распада  $^{211}\text{At}$  (примерно через неделю после его выделения) раствор, в котором находился астат, высушивали на серебряной фольге. Фольгу помещали в ампулу и повторяли операцию перегонки. Измерения показали, что в данных условиях с серебра в бидистиллят переходит менее 1,2% висмута.

Спектр  $\gamma$ -лучей  $^{211}\text{At}$  и дочерних изотопов измерялся на  $\gamma$ -спектрометре с Ge(Li)-детектором. Объем детектора – 70 см<sup>3</sup>, энергетическое разрешение (FWHM) – 2,7 кэВ для  $\gamma$ -перехода с энергией 1332 кэВ  $^{60}\text{Co}$ . Для уменьшения загрузки рентгеновским излучением использовался фильтр из Pb(2 мм). Экспозиции спектров длительностью по 2 часа начинались через 50 минут после очистки астата от висмута. На рис. 2 изображен  $\gamma$ -спектр первой экспозиции. Наблюдаются все  $\gamma$ -лучи, возникающие при распаде  $^{211}\text{At}$  (см. рис. 1), а также самые интенсивные  $\gamma$ -лучи от распада  $^{210}\text{At}$  ( $T_{1/2}=8.2$  ч).

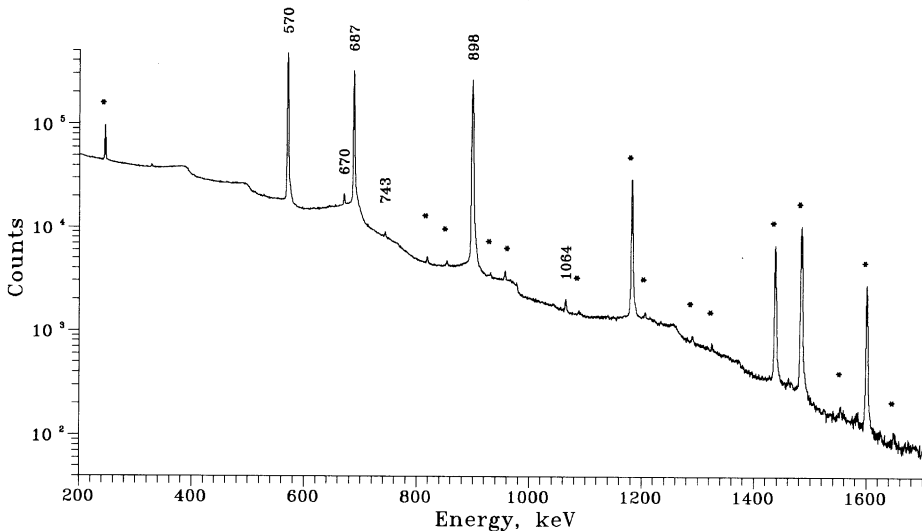


Рис. 2. Спектр  $\gamma$ -лучей  $^{211}\text{At}$  (первая двухчасовая экспозиция). Энергии  $\gamma$ -лучей  $^{211}\text{At}$ ,  $^{211}\text{Po}$  и  $^{207}\text{Bi}$  указаны над пиками. Гамма-линии примеси  $^{210}\text{At}$  отмечены (\*).

На рис. 3 представлена зависимость площади линии  $\gamma$ -лучей с энергией 1064 кэВ от времени измерения. Видно, что экспериментально измеренная площадь линии  $\gamma$ -перехода с энергией 1064 кэВ (график а)

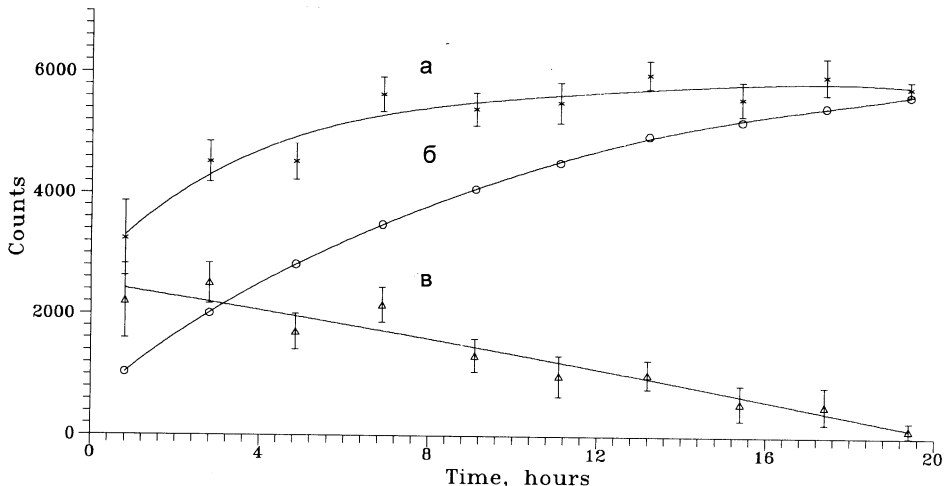


Рис. 3.

- а) Экспериментально измеренная зависимость площади  $\gamma$ -линии с энергией 1064 кэВ от времени.
- б) Расчетная зависимость площади  $\gamma$ -линии с энергией 1064 кэВ от времени, если  $\alpha$ -распада на уровень 1633 кэВ не происходит.
- в) Разность кривых а и б

больше той, которую следовало ожидать, если бы  $\alpha$ -распад на уровень 1633 кэВ не происходил (график б). Разность а и б (график в) убывает с  $T_{1/2} \cong 7$  ч.

Интенсивность  $\alpha$ -распада  $^{211}\text{Po}$  на уровень 1633 кэВ  $^{207}\text{Pb}$  вычислялась по отношению площадей  $\gamma$ -линий 1064 и 687 кэВ в первых четырех экспозициях. При этом были использованы следующие величины:

- интенсивность  $\alpha$ -распада – 41,8(8)% [1],
- интенсивность электронного захвата в  $^{211}\text{At}$  – 58,2(8)% [1],
- $I_{\gamma 687} = 0.261(12)\%$  [3],
- $I_{\gamma 1064} \text{ Bi} = 76,0(1,4)\%$  [6],
- $T_{1/2} = 7,214(7)$  ч [3],
- $T_{1/2} \text{ Bi} = 32,7(8)$  г [6].

В таблице 1 перечислены значения  $I_{\alpha 1633}$ , полученные из  $\gamma$ -спектров первой – четвертой экспозиций. Погрешности  $I_{\alpha 1633}$  учитывают по-

грешности площадей линий, эффективности детектора, времени начала экспозиции и использованных литературных данных.

Таблица 1. Интенсивность  $\alpha$ -распада  $^{211}\text{Po}$  на уровень 1633 кэВ  $^{207}\text{Pb}$

Номер экспозиции	$t_i$	$t_f$	$I_{\alpha 1633} \pm \Delta I_{\alpha 1633}$
1	0,80	2,80	$(6,3 \pm 1,9) \cdot 10^{-4} \%$
2	2,82	4,82	$(8,9 \pm 1,9) \cdot 10^{-4} \%$
3	4,85	6,85	$(8,0 \pm 2,6) \cdot 10^{-4} \%$
4	6,90	8,90	$(12,3 \pm 3,7) \cdot 10^{-4} \%$
Среднее взвешенное			$(8,1 \pm 1,0) \cdot 10^{-4} \%$

Среднее взвешенное значение  $I_{\alpha 1633} = (8,1 \pm 1,0) \cdot 10^{-4} \%$  на распад  $^{211}\text{Po}$ .

Полученные в наших исследованиях  $\gamma$ -спектра  $^{211}\text{At}$  сведения об интенсивностях  $\gamma$ -лучей при распаде  $^{211}\text{At}$  и  $^{211}\text{Po}$  позволяют повторить определение интенсивностей  $\alpha$ -распада этих ядер на возбужденные уровни  $^{207}\text{Bi}$  и  $^{207}\text{Pb}$ . Для приведения относительных интенсивностей  $\gamma$ -лучей ( $\alpha$ -групп) к интенсивности на один распад использована интенсивность  $\gamma$ -лучей 687 кэВ – 0,261(12)% на распад. Наши данные в таблице 2 сравнены с ранее известными. Согласие хорошее.

Таблица 2. Интенсивности  $\alpha$ -распада  $^{211}\text{At}$  и  $^{211}\text{Po}$  на возбужденные уровни  $^{207}\text{Bi}$  и  $^{207}\text{Pb}$

Распад $^{211}\text{At} - ^{207}\text{Bi}$			Распад $^{211}\text{Po} - ^{207}\text{Pb}$		
На уровень, кэВ	$I_{\alpha}$ , %	$I_{\alpha}$ , %	На уровень, кэВ	$I_{\alpha}$ , %	$I_{\alpha}$ , %
На настоящей работе	[3]		На настоящей работе	[3]	
G.S.	-	41,80	G.S.	-	98,89
670	$3,9(3) \cdot 10^{-3}$	$3,6 \cdot 10^{-3}$	570	0,57(2)	0,56
743	$1,1(2) \cdot 10^{-3}$	$1,0 \cdot 10^{-3}$	898	0,59(2)	0,54
892	-	$0,4 \cdot 10^{-3}$	1633	$8,1(10) \cdot 10^{-4}$	-
992	$< 4 \cdot 10^{-5}$	-			

Таким образом, в настоящей работе обнаружен  $\alpha$ -распад  $^{211}\text{Po}$  на высокий (1633 кэВ) возбужденный уровень  $^{207}\text{Pb}$ . Интенсивность этой

ветви  $\alpha$ -распада очень мала. Обнаружить ее другим способом невозможно. В исследованиях  $\alpha$ -спектра  $^{211}\text{At}$  и дочернего  $^{211}\text{Po}$  требуется наблюдать слабую ( $8.1 \cdot 10^{-4}\%$ )  $\alpha$ -линию с энергией 5848 кэВ рядом с в  $5 \cdot 10^4$  раз более интенсивной линией  $E_{\alpha 0}=5869$  кэВ от  $\alpha$ -распада  $^{211}\text{At}$ .

Применить метод ( $\alpha$ - $\gamma$ )-совпадений нельзя, т.к. уровень 1633 кэВ живет 0,8 с. Успех исследования в значительной степени был определен разработанной в [4.5] радиохимической методикой выделения астата, позволившей получать источник  $^{211}\text{At}$  высокой степени чистоты и силы и определять момент начала накопления  $^{207}\text{Bi}$  в приготовленном источнике с достаточной точностью.

Работа выполнена при финансовой поддержке Российского фонда фундаментальных исследований (проект 98-02-16451).

### Литература

1. Головков Н.А., Гуэтх Ш., Джелепов Б.С. и др. Изв.АН СССР сер.физ. **33** (1969) 1622.
2. Martin M.J. Nuclear Data Sheets **70** (1993) 315.
3. Artna-Cohen A. Nuclear Data Sheets **63** (1991) 79.
4. Doberenz V., Dang Duc Nhan, Dreyer R., Milanov M., Norseev Yu.V., Khalkin V.A., Radiochem Radioanal Letters **52**, 2 (1982) 119.
5. Rumler B., Trautmann N., Herrman G. Radiochimica Acta. **47** (1989) 91.
6. Lin W.-J., Harbottle G. J. Radioanal Nucl. Chem., Letters **153**, 1 (1991) 51.

Рукопись поступила в издательский отдел  
26 мая 2000 года.

Чумин В.Г. и др.

Альфа-распад  $^{211}\text{Po}$  на уровень 1633 кэВ  $^{207}\text{Pb}$

P6-2000-118

В исследованиях  $\gamma$ -спектра  $^{211}\text{At}$  и дочерних изотопов  $^{211}\text{Po}$  и  $^{207}\text{Bi}$  обнаружена новая ветвь  $\alpha$ -распада  $^{211}\text{Po}$  на уровень 1633 кэВ  $^{207}\text{Pb}$ . Ее интенсивность  $8,1 \cdot 10^{-4} \%$  на распад  $^{211}\text{Po}$ .

Работа выполнена в Лаборатории ядерных проблем им. В.П.Джелепова ОИЯИ.

Препринт Объединенного института ядерных исследований. Дубна, 2000

### Перевод авторов

Chumin V.G. et al.

Alpha-Decay of  $^{211}\text{Po}$  on the 1633 keV  $^{207}\text{Pb}$  level

P6-2000-118

In investigations of  $\gamma$ -spectrum of  $^{211}\text{At}$  and daughter  $^{211}\text{Po}$  and  $^{207}\text{Bi}$  isotopes a new branch of the  $\alpha$ -decay on the  $^{207}\text{Pb}$  1633 keV level is discovered. Its intensity is  $8,1 \cdot 10^{-4} \%$ .

The investigation has been performed at the Dzhelepov Laboratory of Nuclear Problems, JINR.

Редактор Е.Ю.Шаталова. Макет Н.А.Киселевой

Подписано в печать 07.06.2000  
Формат 60 × 90/16. Офсетная печать. Уч.-изд. листов 0,65  
Тираж 310. Заказ 52066. Цена 78 к.

Издательский отдел Объединенного института ядерных исследований  
Дубна Московской области